

Starkniederschlagshöhen und -spenden gemäß KOSTRA-DWD-2020

Rasterfeld 104198

(Zeile 104, Spalte 198)

Regenspende und Bemessungsniederschlagswerte in Abhängigkeit von Wiederkehrzeit T und Dauerstufe D

| Dauerstufe D | | Wiederkehrzeit T | | | | | | | | | | | | | | | | | |
|--------------|-----|------------------|------------|------|------------|------|------------|------|------------|------|------------|-------|------------|-------|------------|-------|------------|-------|------------|
| | | 1 a | | 2 a | | 3 a | | 5 a | | 10 a | | 20 a | | 30 a | | 50 a | | 100 a | |
| min | Std | mm | l / (s ha) | mm | l / (s ha) | mm | l / (s ha) | mm | l / (s ha) | mm | l / (s ha) | mm | l / (s ha) | mm | l / (s ha) | mm | l / (s ha) | mm | l / (s ha) |
| 5 | | 7,8 | 260,0 | 10,0 | 333,3 | 11,4 | 380,0 | 13,2 | 440,0 | 15,8 | 526,7 | 18,5 | 616,7 | 20,3 | 676,7 | 22,6 | 753,3 | 25,9 | 863,3 |
| 10 | | 9,7 | 161,7 | 12,5 | 208,3 | 14,2 | 236,7 | 16,5 | 275,0 | 19,8 | 330,0 | 23,1 | 385,0 | 25,3 | 421,7 | 28,2 | 470,0 | 32,4 | 540,0 |
| 15 | | 10,9 | 121,1 | 14,0 | 155,6 | 15,9 | 176,7 | 18,5 | 205,6 | 22,1 | 245,6 | 25,9 | 287,8 | 28,4 | 315,6 | 31,6 | 351,1 | 36,3 | 403,3 |
| 20 | | 11,7 | 97,5 | 15,1 | 125,8 | 17,1 | 142,5 | 19,9 | 165,8 | 23,8 | 198,3 | 27,9 | 232,5 | 30,6 | 255,0 | 34,1 | 284,2 | 39,1 | 325,8 |
| 30 | | 12,9 | 71,7 | 16,6 | 92,2 | 18,9 | 105,0 | 22,0 | 122,2 | 26,3 | 146,1 | 30,8 | 171,1 | 33,8 | 187,8 | 37,6 | 208,9 | 43,1 | 239,4 |
| 45 | | 14,2 | 52,6 | 18,3 | 67,8 | 20,8 | 77,0 | 24,1 | 89,3 | 28,9 | 107,0 | 33,9 | 125,6 | 37,1 | 137,4 | 41,4 | 153,3 | 47,4 | 175,6 |
| 60 | 1 | 15,2 | 42,2 | 19,5 | 54,2 | 22,2 | 61,7 | 25,8 | 71,7 | 30,9 | 85,8 | 36,2 | 100,6 | 39,6 | 110,0 | 44,1 | 122,5 | 50,6 | 140,6 |
| 90 | 1,5 | 16,6 | 30,7 | 21,3 | 39,4 | 24,3 | 45,0 | 28,2 | 52,2 | 33,8 | 62,6 | 39,5 | 73,1 | 43,3 | 80,2 | 48,3 | 89,4 | 55,4 | 102,6 |
| 120 | 2 | 17,6 | 24,4 | 22,7 | 31,5 | 25,9 | 36,0 | 30,0 | 41,7 | 36,0 | 50,0 | 42,1 | 58,5 | 46,1 | 64,0 | 51,4 | 71,4 | 58,9 | 81,8 |
| 180 | 3 | 19,3 | 17,9 | 24,8 | 23,0 | 28,2 | 26,1 | 32,7 | 30,3 | 39,2 | 36,3 | 45,9 | 42,5 | 50,3 | 46,6 | 56,1 | 51,9 | 64,3 | 59,5 |
| 240 | 4 | 20,5 | 14,2 | 26,4 | 18,3 | 30,0 | 20,8 | 34,8 | 24,2 | 41,7 | 29,0 | 48,8 | 33,9 | 53,5 | 37,2 | 59,6 | 41,4 | 68,4 | 47,5 |
| 360 | 6 | 22,3 | 10,3 | 28,7 | 13,3 | 32,7 | 15,1 | 37,9 | 17,5 | 45,5 | 21,1 | 53,2 | 24,6 | 58,3 | 27,0 | 65,0 | 30,1 | 74,5 | 34,5 |
| 540 | 9 | 24,3 | 7,5 | 31,3 | 9,7 | 35,6 | 11,0 | 41,3 | 12,7 | 49,5 | 15,3 | 58,0 | 17,9 | 63,5 | 19,6 | 70,8 | 21,9 | 81,2 | 25,1 |
| 720 | 12 | 25,8 | 6,0 | 33,2 | 7,7 | 37,8 | 8,8 | 43,9 | 10,2 | 52,6 | 12,2 | 61,6 | 14,3 | 67,5 | 15,6 | 75,2 | 17,4 | 86,2 | 20,0 |
| 1080 | 18 | 28,1 | 4,3 | 36,2 | 5,6 | 41,2 | 6,4 | 47,8 | 7,4 | 57,3 | 8,8 | 67,0 | 10,3 | 73,4 | 11,3 | 81,8 | 12,6 | 93,9 | 14,5 |
| 1440 | 24 | 29,8 | 3,4 | 38,4 | 4,4 | 43,8 | 5,1 | 50,8 | 5,9 | 60,8 | 7,0 | 71,2 | 8,2 | 78,0 | 9,0 | 86,9 | 10,1 | 99,7 | 11,5 |
| 2880 | 48 | 34,5 | 2,0 | 44,4 | 2,6 | 50,6 | 2,9 | 58,7 | 3,4 | 70,3 | 4,1 | 82,3 | 4,8 | 90,2 | 5,2 | 100,5 | 5,8 | 115,2 | 6,7 |
| 4320 | 72 | 37,5 | 1,4 | 48,4 | 1,9 | 55,1 | 2,1 | 63,9 | 2,5 | 76,5 | 3,0 | 89,6 | 3,5 | 98,2 | 3,8 | 109,4 | 4,2 | 125,4 | 4,8 |
| 5760 | 96 | 39,9 | 1,2 | 51,4 | 1,5 | 58,5 | 1,7 | 67,8 | 2,0 | 81,3 | 2,4 | 95,1 | 2,8 | 104,2 | 3,0 | 116,1 | 3,4 | 133,2 | 3,9 |
| 7200 | 120 | 41,8 | 1,0 | 53,8 | 1,2 | 61,3 | 1,4 | 71,0 | 1,6 | 85,1 | 2,0 | 99,7 | 2,3 | 109,2 | 2,5 | 121,7 | 2,8 | 139,5 | 3,2 |
| 8640 | 144 | 43,4 | 0,8 | 55,9 | 1,1 | 63,6 | 1,2 | 73,8 | 1,4 | 88,4 | 1,7 | 103,5 | 2,0 | 113,4 | 2,2 | 126,4 | 2,4 | 145,0 | 2,8 |
| 10080 | 168 | 44,8 | 0,7 | 57,7 | 1,0 | 65,7 | 1,1 | 76,2 | 1,3 | 91,3 | 1,5 | 106,9 | 1,8 | 117,1 | 1,9 | 130,5 | 2,2 | 149,7 | 2,5 |

Starkniederschlagshöhen und -spenden gemäß KOSTRA-DWD-2020

Rasterfeld 104198

(Zeile 104, Spalte 198)

Örtliche Unsicherheiten in Abhängigkeit von Wiederkehrzeit T und Dauerstufe D

| Dauerstufe D | | Wiederkehrzeit T | | | | | | | | |
|--------------|-----|------------------|-----|-----|-----|------|------|------|------|-------|
| | | 1 a | 2 a | 3 a | 5 a | 10 a | 20 a | 30 a | 50 a | 100 a |
| min | Std | ± % | ± % | ± % | ± % | ± % | ± % | ± % | ± % | ± % |
| 5 | | 11 | 11 | 12 | 12 | 13 | 14 | 14 | 14 | 15 |
| 10 | | 12 | 14 | 15 | 16 | 18 | 19 | 19 | 20 | 20 |
| 15 | | 14 | 16 | 17 | 19 | 20 | 21 | 22 | 22 | 23 |
| 20 | | 15 | 18 | 19 | 20 | 22 | 23 | 23 | 24 | 24 |
| 30 | | 16 | 19 | 20 | 22 | 23 | 24 | 25 | 25 | 26 |
| 45 | | 17 | 20 | 21 | 22 | 24 | 25 | 25 | 26 | 27 |
| 60 | 1 | 17 | 20 | 21 | 23 | 24 | 25 | 26 | 26 | 27 |
| 90 | 1,5 | 17 | 20 | 21 | 23 | 24 | 25 | 26 | 26 | 27 |
| 120 | 2 | 17 | 20 | 21 | 22 | 24 | 25 | 25 | 26 | 27 |
| 180 | 3 | 16 | 19 | 20 | 22 | 23 | 24 | 25 | 25 | 26 |
| 240 | 4 | 16 | 18 | 20 | 21 | 23 | 24 | 24 | 25 | 25 |
| 360 | 6 | 15 | 18 | 19 | 20 | 22 | 23 | 23 | 24 | 25 |
| 540 | 9 | 14 | 17 | 18 | 19 | 21 | 22 | 22 | 23 | 24 |
| 720 | 12 | 14 | 16 | 17 | 19 | 20 | 21 | 22 | 22 | 23 |
| 1080 | 18 | 13 | 16 | 17 | 18 | 19 | 20 | 21 | 21 | 22 |
| 1440 | 24 | 13 | 15 | 16 | 17 | 19 | 20 | 20 | 21 | 21 |
| 2880 | 48 | 13 | 15 | 15 | 16 | 18 | 19 | 19 | 20 | 20 |
| 4320 | 72 | 13 | 14 | 15 | 16 | 17 | 18 | 18 | 19 | 20 |
| 5760 | 96 | 13 | 14 | 15 | 16 | 17 | 18 | 18 | 19 | 19 |
| 7200 | 120 | 14 | 15 | 15 | 16 | 17 | 18 | 18 | 19 | 19 |
| 8640 | 144 | 14 | 15 | 15 | 16 | 17 | 18 | 18 | 18 | 19 |
| 10080 | 168 | 15 | 15 | 15 | 16 | 17 | 18 | 18 | 18 | 19 |

Parameter für abweichende T und D

Lokationsparameter ξ (Xi)

15,39904025

Skalenparameter α (Alpha)

6,16256493

Formparameter κ (Kappa)

-0,1

1. Koutsoyiannis-Parameter θ (Theta)

0,01953049

2. Koutsoyiannis-Parameter η (Eta)

0,79133265

Parameter für dauerstufenübergreifende Extremwertschätzung nach KOUTSOYIANNIS et al. 1998.

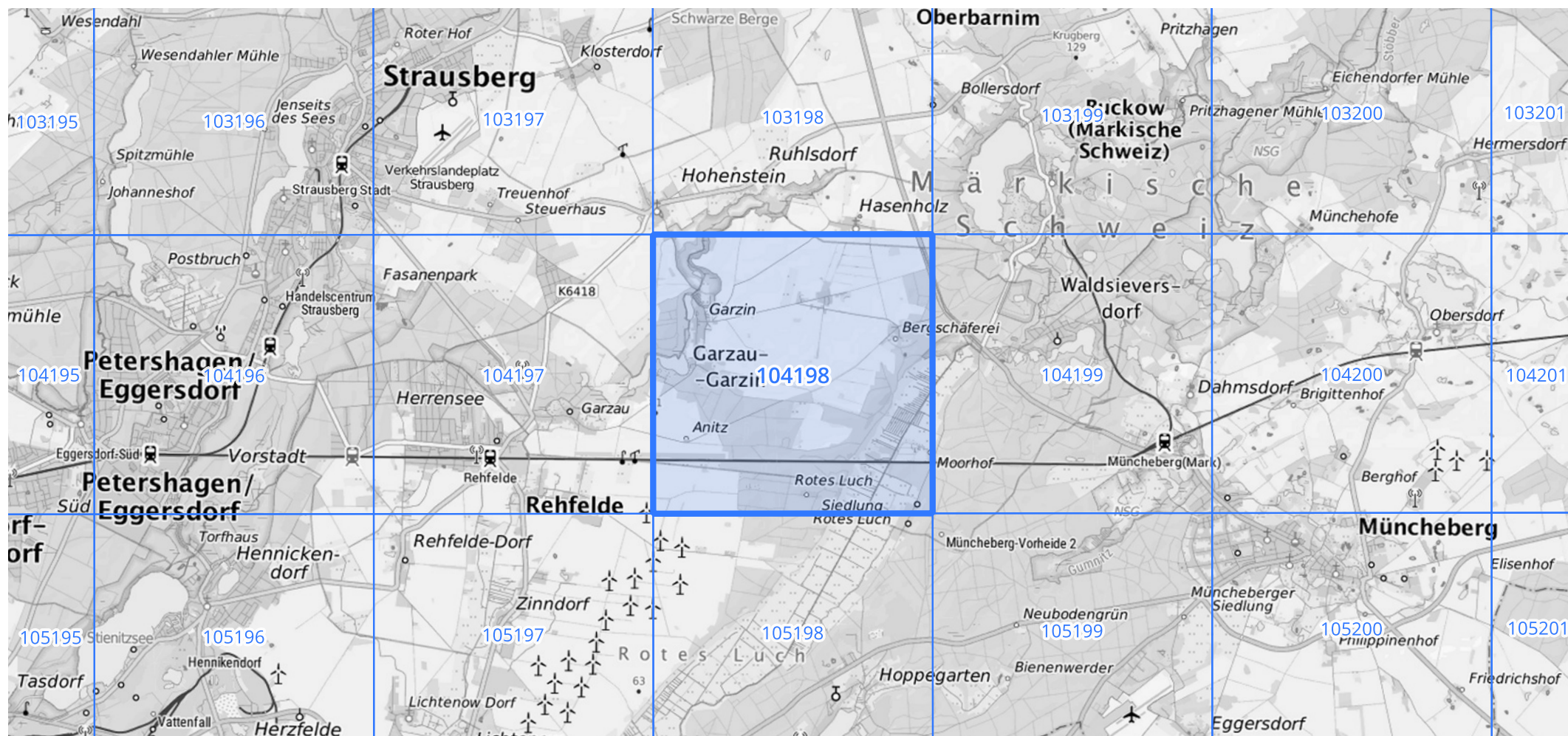
Siehe auch Anwendungshilfe zu KOSTRA-DWD-2020 des Deutschen Wetterdienstes.

Starkniederschlagshöhen und -spenden gemäß KOSTRA-DWD-2020

Rasterfeld 104198

(Zeile 104, Spalte 198)

Übersichtskarte des Rasterfeldes 104198, M 1 : 100 000



Quelle Rasterdaten: KOSTRA-DWD-2020 des Deutschen Wetterdienstes, Stand 12/2022.

Seite 3 von 3

Kartendarstellung: © Bundesamt für Kartographie und Geodäsie (2023), Datenquellen: https://sgx.geodatenzentrum.de/web_public/gdz/datenquellen/Datenquellen_TopPlusOpen.html

Für die Richtigkeit und Aktualität der Angaben wird keine Gewähr übernommen. Erstellt 01/2023.